

十六硫醇自组装膜对Ag的防变色作用研究

鲁文晔¹ 陈蝶依² 陈步荣¹ 汤涛¹

1. 南京工业大学材料科学与工程学院 南京 210009;

2. 南京大学匡亚明学院 南京 210023

摘要:针对Ag制品的变色问题,在Ag表面制备十六硫醇(HDT)自组装分子膜(SAMs),用H₂S加速变色实验评价防变色效果,通过正交试验法得到最佳成膜工艺为:温度60℃,浓度0.1 mol/L,自组装时间为2 h。采用接触角测定和极化曲线、电化学阻抗、循环伏安曲线等电化学方法对膜的性能进行表征。结果表明:乙醇溶液中HDT在Ag表面形成了一层致密的自组装分子膜,具有良好的防变色效果。HDT SAMs对Ag腐蚀的阳极氧化和阴极还原均有抑制作用,膜的覆盖率为94.8%,缓蚀率达到95.9%。

关键词:十六硫醇 自组装膜 Ag 防变色

中图分类号: TG172.3 文献标识码: A 文章编号: 1005-4537(2016)02-0172-05

Hexadecane-thiol Self-assembly Monolayers on Silver for Anti-tarnishing

LU Wenye¹, CHEN Dieyi², CHEN Burong¹, TANG Tao¹

1. College of Materials Science and Engineering, Nanjing Tech University, Nanjing 210009, China;

2. Kuang Yaming School, Nanjing University, Nanjing 210023, China

Abstract: Self-assembly monolayers of hexadecane-thiol (HDT) were prepared on the surface of silver and their anti-tarnishing performance was examined by accelerated tarnish test with H₂S. Then the optimal processing parameters were acquired: the temperature is 60 °C, the concentration of HDT is 0.1 mol/L and the experiment time is 2 h. The self-assembly monolayers were characterized also by means of water drop contact angle, polarization curve, electrochemical impedance spectroscopy and cyclic voltammetry methods. The results showed that the self-assembly monolayers of HDT on the surface of silver were compact, and the effect of anti-tarnishing for silver is excellent. Both anodic and cathodic reactions of corrosion were inhibited by HTD SAMs, the film coverage is 94.8%, and the inhibition efficiency is up to 95.9%.

Key words: hexadecane-thiol, self-assembly monolayer, silver, anti-tarnishing

1 前言

银制品在使用和存放的过程中易发生明显的变色现象,在Ag表面形成褐色或黑色的变色膜,其变色原因主要是空气中的O₂以及微量S的存在,单质硫、无机及有机硫化物等对Ag具有强烈的致变色作用,变色产物的主要成分是黑色的Ag₂S^[1]。变色

定稿日期: 2015-04-17

作者简介: 鲁文晔,男,1987年生,硕士生

通讯作者: 陈步荣, E-mail: chenburong@163.com, 研究方向为材料的腐蚀与防护

DOI: 10.11902/1005.4537.2015.057

膜的存在严重影响银制品的美观性。同时,工业上Ag的变色还会引起延展性、导电性、导热性等主要性能的变化,导致电子设备中Ag部件的接触电阻升高,可靠性和可焊性下降^[2]。目前,防止Ag变色的方法有^[3]:电镀、沉积氧化膜和有机吸附钝化层等。其共同点是通过不同方法在Ag表面形成金属、无机物或有机物的涂层或钝化膜,膜层的厚度从几十纳米到几微米不等,对金属Ag或镀Ag层的外观色泽、导电导热性均有不同程度的影响,有的工艺复杂,毒性大。近年来,分子自组装膜(SAMs)技术的发展,

为从分子级别上实现对金属的保护提供了一条新途径^[4]。其中,烷基硫醇对Cu, Au和Ag等防腐蚀方面研究较早,具备制备工艺简单、低毒环保,不改变外观,不增加接触电阻等优点^[5]。Jennings等^[6]认为烷基链碳原子数越多,烷基硫醇对Cu的防护性能越好。屈钧娥等^[7]研究发现,随着十二烷基硫醇浓度的增大,其在Au表面的覆盖度变大,并且更为致密;当浓度为0.005 mol/L,浸泡时间为2 h,可以在Au表面得到覆盖度为98.45%的十二硫醇自组装膜。Liang等^[8]采用不同的分散剂将十八烷基硫醇分散于水溶液中,在Ag表面制得的十八烷基硫醇自组装膜,其对Ag在NaCl和Na₂S组成的混合腐蚀介质中的缓蚀效率高达91.9%,覆盖率为96.7%。国内有关十六硫醇(HDT)自组装膜对Ag防变色作用的研究很少,本文采用乙醇为溶剂,在Ag表面制备HDT自组装膜,运用正交法和H₂S加速法得到最佳工艺,并用极化曲线、电化学阻抗、循环伏安等电化学方法对自组装膜的抗变色性能进行了表征。

2 实验方法

2.1 试剂

无水乙醇(分析纯), Na₂S(分析纯), NaOH(分析纯), KH₂PO₄(分析纯), HDT(试剂级), 蒸馏水, 纯度为99.99%(质量分数)的Ag片。

2.2 自组装膜的制备

Ag电极工作面积为1 cm², 采用纯Ag片制备, 环氧树脂密封; Ag片规格为25 mm×25 mm×2 mm。将Ag片和Ag电极分别用金相砂纸逐级打磨至2000#, 抛光, 蒸馏水超声清洗10 min, 再用无水乙醇超声清洗10 min, 晾干备用。将经过预处理的Ag片和Ag电极放入一定浓度和温度的HDT乙醇溶液中, 一定时间后取出, 用相同温度的无水乙醇清洗, 吹干备用。

2.3 H₂S加速变色实验

实验按JEIDA-39标准^[9]进行, 即Na₂S+KH₂PO₄作为H₂S的来源, 具体方法为: 称取120 g Na₂S·9H₂O溶解于300 mL蒸馏水中, 称取14 g KH₂PO₄溶解于200 mL蒸馏水中, 将两种溶液先后加入到14 dm³玻璃干燥器中混合, 迅速加盖密封, 置于(40±2) °C烘箱中至恒温, 此时溶液上方产生的H₂S浓度为(3±1)×10⁻⁶ mol/L, 将样片用线悬挂于溶液上方同一高度, 加速变色20 h后取出观察。

加速变色实验后效果评价: 按GB/T 2423-1995标准^[10]进行, 腐蚀变色评级分为5级, 即: 1级为不变色; 2级为微灰暗色、微黄色或者出现第1个直径小于1 mm变色黑点; 3级为轻度变成灰暗色、黄色并

有褐色或少量变色黑点; 4级为灰暗色加深、黄色加深, 其他彩色膜颜色加重或变色的黑点扩散, 变色的面积较大; 5级为黄色、灰暗色很深。而且褐色变为黑褐色, 其他彩色膜很深或变色扩散严重且变色面积大或者全部变为黑色。

2.4 接触角测试

采用Dataphysics OCA 20光学接触角测量仪对接触角进行测量, 所用液体为蒸馏水, 给定蒸馏水的体积约为2.0 μL。每个样品选取5个点进行测量, 然后取平均值。

2.5 电化学性能测试

电化学测量采用CHI660B电化学工作站。采用三电极系统, 参比电极为饱和甘汞电极, 辅助电极为Pt电极, 工作电极是成膜前后的Ag电极。实验温度为25 °C。测定极化曲线所用介质为0.05 mol/L的Na₂S溶液, 测试电位范围-1.2~0.4 V, 扫描速率为2 mV/s; 电化学阻抗实验所用介质为0.05 mol/L的Na₂S溶液, 频率范围为10⁻²~10⁵ Hz, 振幅为5 mV; 测定循环伏安曲线所用介质为0.10 mol/L的NaOH溶液, 测试范围为-0.2~0.8 V, 扫描速率为5 mV/s。测试之前需将Ag电极浸在溶液中, 等电位稳定以后再进行测试。

3 结果与讨论

3.1 加速变色实验结果

影响HDT在Ag表面自组装膜效果的因素主要有HDT浓度、成膜温度、时间和前处理工艺等。为得到最佳制备工艺, 进行了正交试验, 选用的是L₉(3³)正交表, 3个因素: 温度、浓度、时间。同时, 根据前期实验, 选择了每个因素的水平, 按正交表参数进行了H₂S加速变色实验, 并对试片按GB/T 2423-1995标准进行评级, 结果见表1。

由表1可以看出, HDT的温度、浓度和时间对Ag的防变色作用影响顺序依次为: 浓度>温度>时间, 在Ag表面形成HDT自组装膜的最佳工艺为0.1 mol/L, 60 °C, 2 h。

3.2 组装前后宏观照片

图1a和b分别为空白Ag片和自组装膜后的Ag片。可以看出Ag表面形成SAMs前后, 表面色泽和外观没有明显变化。

3.3 接触角测试

图2为Ag表面的接触角测试结果。空白Ag片表面有亲水性, 水滴呈铺展状, 其接触角为70°。而当Ag在HDT乙醇溶液最佳工艺中形成自组装膜后, 水滴在其表面收缩成一个球形, 其接触角增大, 为118°。可以看出, HDT在Ag表面形成了一层疏

表1 正交实验结果
Table 1 Results of orthogonal test

Test No.	Temperature / °C	Concentration / mol/L	Time / h	Grade
1	40	0.02	0.5	5
2	40	0.05	1	4
3	40	0.1	2	3
4	50	0.02	1	4
5	50	0.05	2	2
6	50	0.1	0.5	1
7	60	0.02	2	3
8	60	0.05	0.5	3
9	60	0.1	1	1
K _{1j}	4.000	4.000	3.000	---
K _{2j}	2.333	3.000	3.000	---
K _{3j}	2.333	1.667	2.667	---
R _j	1.667	2.333	0.333	---

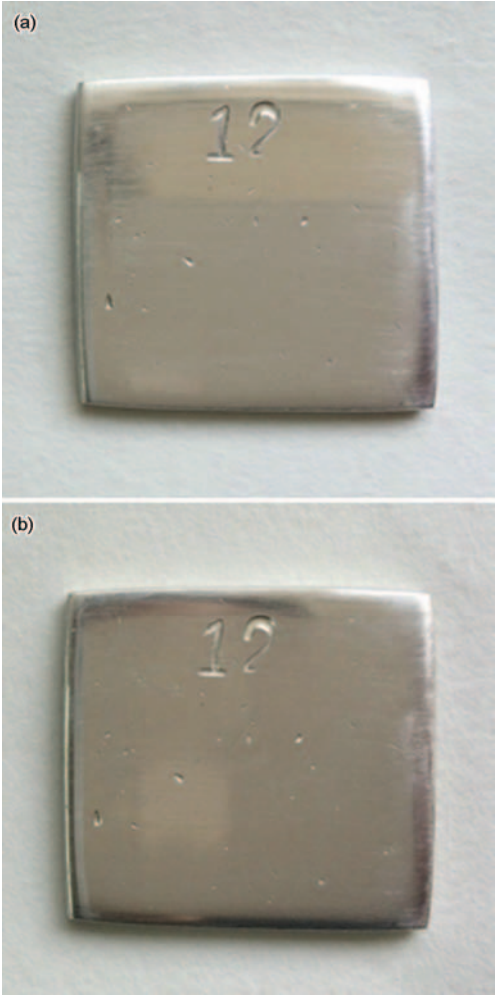


图1 Ag表面形成HDT自组装膜前后的宏观照片
Fig.1 Images of bare Ag (a) and HDT covered Ag (b)

水性的膜。

3.4 极化曲线

图3为Ag表面形成HDT SAMs前后，在0.05 mol/L的Na₂S溶液中的极化曲线。表2列出了由图3数据计算得到的极化曲线分析结果和缓蚀效率 η 。其中， η 按下式计算得到^[11]，并以此来衡量自组装膜的缓蚀效果：

$$\eta = \frac{I_{\text{corr}}^0 - I_{\text{corr}}}{I_{\text{corr}}^0} \times 100\% \quad (1)$$

其中， I_{corr}^0 和 I_{corr} 分别表示未组装和组装了HDT SAMs的Ag的腐蚀电流密度。

从图3和表2中可以看出，HDT在Ag表面形成SAMs后，阴极的氧还原和阳极Ag的硫化过程均受到了抑制，自腐蚀电流密度大幅降低，缓蚀效率为95.9%。一般认为 E_{corr} 变化在85 mV以上才可以判断缓蚀剂的类型^[12]， E_{corr} 略向阴极移动，因此阴极极化过程的阻滞作用较阳极极化过程明显。

3.5 电化学阻抗

图4是Ag电极形成SAMs前后在0.05 mol/L的Na₂S溶液中的Nyquist阻抗图。该阻抗图呈一容抗弧形，说明研究体系中Ag的腐蚀由电荷传递过程控制^[13]。弧形与 Z_{Re} 轴上的弦长对应于Ag电极的膜电阻，膜电阻越大，说明缓蚀效率越高^[14]。

文献^[15]已经建立了很多不同的等效电路来拟合

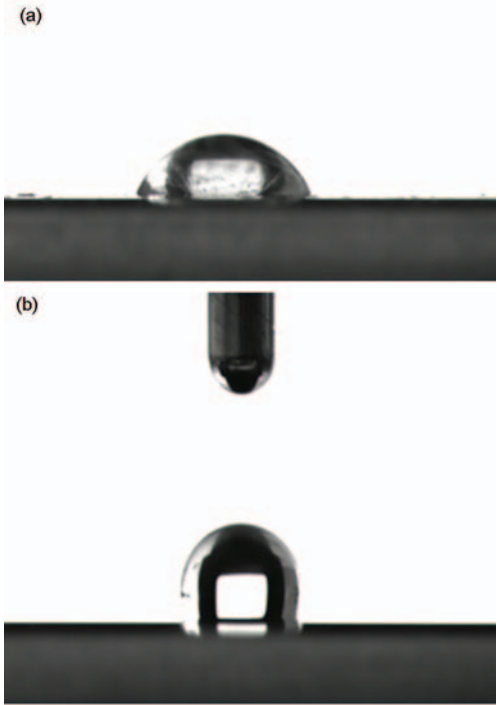


图2 Ag表面的接触角测试结果
Fig.2 Contact angles of water drops on blank (a) and HDT deposited (b) Ag

有机覆盖层的电化学阻抗数据,采用图5中的等效电路,使用ZView软件拟合阻抗数据,针对高频区的容抗半圆,用一个电荷传递电阻 R_{ct} 和一个双电层电容 C_{dl} 并联来模拟电极/溶液之间的界面, R_s 代表溶液电阻, C_{sams} 和 R_{sams} 代表表面膜的膜电容和膜电阻。

表3为电化学阻抗的拟合结果。SAMs的双电层电容 C_{dl} 是表征膜质量的重要因素, C_{dl} 越小,则表示膜越致密^[16]。从表3中可以看出,空白Ag电极的 C_{dl} 为

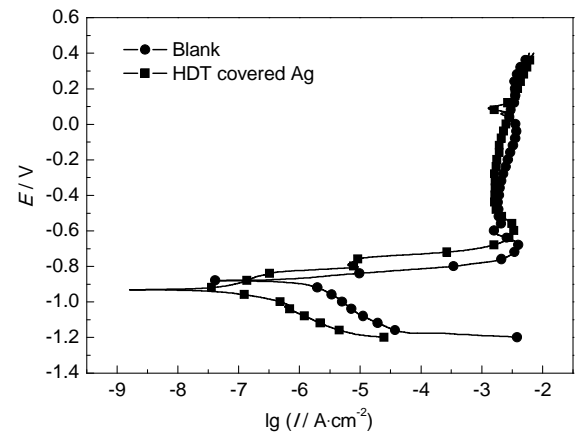


图3 Ag表面形成HDT自组装膜前后在0.05 mol/L Na₂S溶液中的极化曲线

Fig.3 Polarization curves of blank and HDT covered Ag in 0.05 mol/L Na₂S solution

表2由图3计算得到的极化曲线分析结果和缓蚀效率
Table 2 Corrosion current density, Tafel slopes and protection efficiency of bare Ag and HDT covered Ag in 0.05 mol/L Na₂S solution

SAMs	E_{corr} V	b_a $mV \cdot dec^{-1}$	b_c $mV \cdot dec^{-1}$	I_{corr} $\mu A \cdot cm^{-2}$	η %
Blank	-0.880	58.6	242.2	1.373	---
HDT	-0.931	44.8	205.8	0.055	95.9

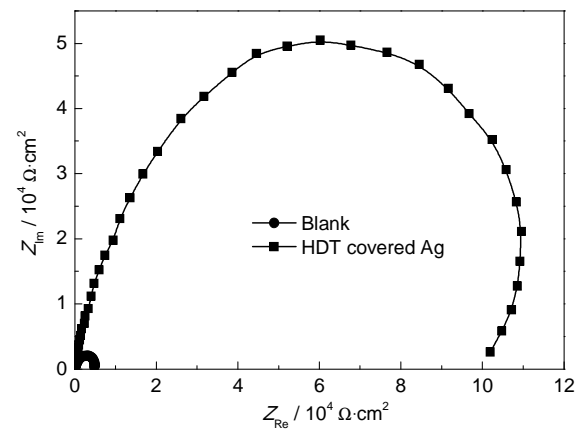


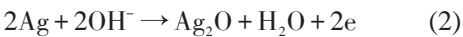
图4 Ag电极形成SAMs前后在0.05 mol/L Na₂S溶液中的Nyquist图

Fig.4 Nyquist impedance plots of blank and HDT covered Ag in 0.05 mol/L Na₂S solution

15.7 $\mu F \cdot cm^{-2}$,而覆盖SAMs后降至2.51 $\mu F \cdot cm^{-2}$,下降了一个数量级,说明Ag电极表面形成了比较均匀致密的SAMs^[17]。Ag电极形成SAMs以后界面 R_{ct} 大幅度增加,说明腐蚀介质与Ag电极发生氧化还原反应的电荷转移阻力增大,增大了Ag发生腐蚀和变色的难度。表3中空白Ag电极的 R_{ct} 仅为6.58 $k\Omega \cdot cm^2$,而HDT在乙醇中形成自组装膜后的 R_{ct} 增至127.65 $k\Omega \cdot cm^2$,可以计算出自组装膜的覆盖度为94.8%,自组装膜较为致密。

3.6 循环伏安曲线

空白Ag和自组装膜覆盖的Ag电极在0.1 mol/L NaOH溶液中的循环伏安曲线见图6。可知,空白Ag的循环伏安曲线峰非常明显,Ag的氧化过程分为两个阶段,Ag在碱性溶液中第一阶段的氧化可能包含多步过程^[18],主要对应于图6中a峰,代表Ag₂O的生成,见下式:



第二阶段的氧化是AgO的形成过程,对应阳极方向的b峰,见下式:



而AgO和Ag₂O还原分别对应阴极方向的c和d峰。

空白Ag电极的Ag₂O和AgO形成的峰电流分别为1.02和1.76 mA。表面有自组装膜的Ag电极

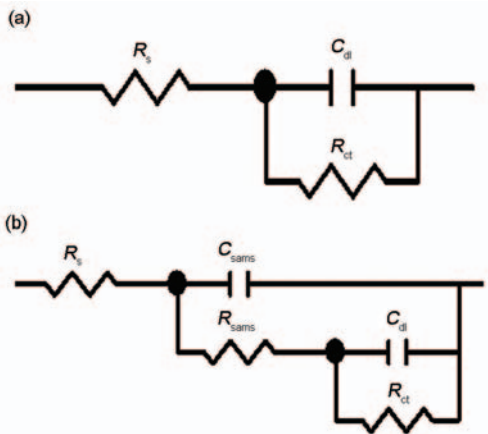


图5 Ag电极表面形成SAMs前后的电化学阻抗等效电路图

Fig.5 Equivalent circuits used to model the EIS data for bare Ag (a) and HDT SAMs covered Ag (b)

表3等效电路分析结果和表面覆盖度

Table 3 Fitting results of equivalent circuits and surface coverage (θ) of HDT SAMs

SAMs	C_{dl} / $\mu F \cdot cm^{-2}$	R_{ct} / $k\Omega \cdot cm^2$	θ / %
Blank	15.70	6.58	---
HDT	2.51	127.65	94.8

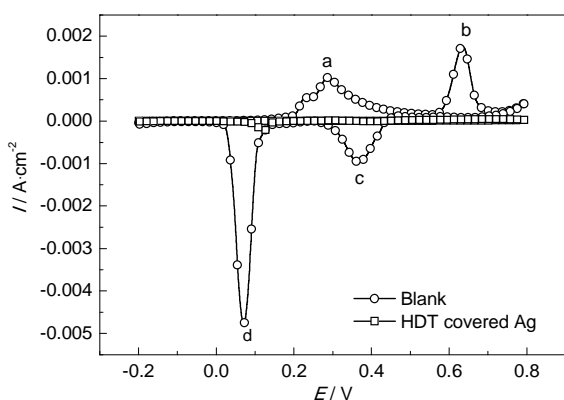


图6 空白和自组装膜覆盖的Ag电极的循环伏安曲线
Fig.6 Cyclic voltammetry curves of blank and HDT SAMs covered Ag

的循环伏安曲线接近为一条直线,已经分辨不出氧化峰和还原峰,说明其氧化峰和还原峰电流都有大幅度降低。因此,可以得出结论:Ag在HDT乙醇溶液中形成的自组装膜能够有效抑制其氧化过程。

4 结论

(1) HDT在60℃,0.1 mol/L的乙醇溶液中,自组装2 h后形成的自装膜对Ag的防变色效果最好。

(2) HDT在Ag表面能够形成憎水性的膜,对Ag腐蚀的阳极氧化和阴极还原均有抑制作用,其中对阴极还原过程的阻滞作用更为明显。

(3) 自组装膜的形成,增加了电荷传递电阻,膜的覆盖度为94.8%,缓蚀率达到95.9%,对Ag具有良好的防变色效果。

参考文献

- [1] Sinclair J D. Tarnishing of silver by organic sulfur vapor: Rates and film characteristics [J]. J. Electrochem. Soc., 1982, 129(1): 33
- [2] Chen C C. The general situation and development trends of silver tarnish prevention [J]. Electroplat. Pollut. Control, 1999, 19(1): 3 (陈春成. 防银变色技术的概况及发展趋势 [J]. 电镀与环保, 1999, 19(1): 3)
- [3] Yang C J, Liang C H, Zhang X. Research progress of anti-tarnishing techniques of silver [J]. Electroplat. Finish., 2009, 28(6): 71 (杨长江, 梁成浩, 张旭. 银抗变色工艺研究进展 [J]. 电镀与涂饰, 2009, 28(6): 71)
- [4] Ulman A. Formation and structure of self-assembled monolayers [J]. Chem. Rev., 1996, 96: 1533
- [5] Liu Y L, Yu Z F, Zhou S X, et al. The applications of self-assembled monolayers in metal protection [J]. Paint Coat. Ind., 2004, 34(9): 27 (刘娅莉, 于占锋, 周树学等. 自组装单分子膜技术在金属防护中的应用 [J]. 涂料工业, 2004, 34(9): 27)
- [6] Jennings G K, Yong T H, Munro J C, et al. Structural effects on the barrier properties of self-assembled monolayers formed long-

chain-alkoxy-n-alkanethiols on copper [J]. J. Am. Chem. Soc., 2003, 125(10): 2950

- [7] Qu J E, Guo X P, Zhang J Z, et al. Electrochemical behavior and micro adhesive force characteristic of corrosion inhibition film [J]. Acta Phys.-Chim. Sin., 2008, 24(8): 1507 (屈钧娥, 郭兴蓬, 张金枝等. 缓蚀膜电化学行为与微观粘附力特征 [J]. 物理化学学报, 2008, 24(8): 1507)
- [8] Liang C H, Yang C J, Huang N B. Tarnish protection of silver by octadecanethiol self-assembled monolayers prepared in aqueous micellar solution [J]. Surf. Coat. Technol., 2009, 203: 1034
- [9] GB/T 2423.20-2014. Environmental testing-Part 2: Test methods-Test Kd: Hydrogen sulphide test for contacts and connections [S] (GB/T 2423.20-2014. 环境试验第2部分: 试验方法试验Kd: 接触点和连接件的硫化氢试验 [S])
- [10] GB/T 2423-1995. Environmental testing for electric and electronic products [S] (GB/T 2423-1995. 电工电子产品环境试验 [S])
- [11] Cao C N. Principles of Erosive Electrochemistry [M]. 2nd Ed. Beijing: Chemical Industry Press, 2004: 232 (曹楚南. 腐蚀电化学原理 [M]. 第二版. 北京: 化学工业出版社, 2004: 232)
- [12] Pauline S A, Sahila S, Gopalakrishnan C, et al. Synthesis, characterization and corrosion protection property of terpolymers derived from poly (MAN-co-MMA) containing benzimidazole derivative as pendant group [J]. Prog. Org. Coat., 2011, 72(3): 443
- [13] Wang X Q, Liu R Q, Zhu L Q, et al. Inhibition action and adsorption behaviors of BIT, BIOHT and BIMMT on copper in alkaline medium [J]. Acta Phys.-Chim. Sin., 2007, 23(1): 21 (王献群, 刘瑞泉, 朱丽琴等. 碱性介质中BIT, BIOHT和BIMMT对铜的缓蚀性能和吸附行为 [J]. 物理化学学报, 2007, 23(1): 21)
- [14] Cao C N, Zhang J Q. An Introduction to Electrochemical Impedance Spectroscopy [M]. Beijing: Science Press, 2002: 68 (曹楚南, 张鉴清. 电化学阻抗谱导论 [M]. 北京: 科学出版社, 2002: 68)
- [15] Wang J, Li D G, Yu X J, et al. SAMs of dodecyl mercaptan and its corrosion protection on iron surface [J]. J. Chin. Soc. Corros. Prot., 2010, 30: 207 (王静, 李德刚, 于先进等. 十二烷基硫醇在Fe表面自组装成膜及其对铁的腐蚀保护 [J]. 中国腐蚀与防护学报, 2010, 30: 207)
- [16] Wang C T. Protection for the Corrosion of Copper [M]. Beijing: China Petrochemical Press, 2006: 14 (王春涛. 金属铜腐蚀的防护 [M]. 北京: 中国石化出版社, 2006: 14)
- [17] Wang C T, Chen S H, Zhao S Y. Inhibition effect of AC-treated, mixed self-assembled of phenylthiourea and 1-dodecanethiol on copper [J]. J. Electrochem. Soc., 2004, 151(1): B11
- [18] Liu J H, Gu N. Cyclic voltammetry study of self-assembled layer on silver [J]. J. Chin. Soc. Corros. Prot., 2006, 26(5): 290 (刘金红, 顾宁. 循环伏安法研究银表面自组装膜的致性 [J]. 中国腐蚀与防护学报, 2006, 26(5): 290)